

Oscillateur conservatif linéaire à un degré de liberté

Mathis Wang Bingchen 15241050 SY1924131

1.1

```
%Solutions analytique de l'equation
```

```
w0=2*pi; q0=1; Dq0=0;T0=3;
```

```
syms q
```

```
eq = 'D2q = -4*pi*pi*q';
```

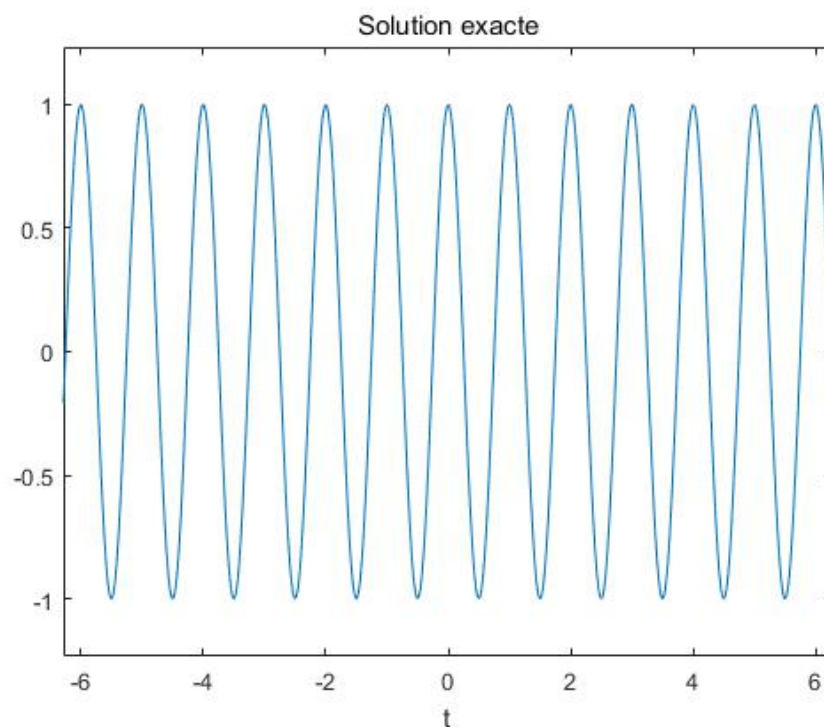
```
q = dsolve(eq, 'q(0) = 1', 'Dq(0) = 0');
```

```
ezplot(q)
```

```
title('Solution exacte')
```

q =

cos(2*pi*t)



1.2

```
%Dq = -2*pi*sin(2*pi*t)%Etoile = 0.5*(Dq*Dq+4*pi*pi*q*q)=2*pi*pi
```

```
Etoile = 2*pi*pi;
```

2.1

On a:

$$\ddot{q} + \omega_0^2 q = 0$$

$$\begin{vmatrix} q_{j+1} \\ \dot{q}_{j+1} \end{vmatrix} = \begin{vmatrix} q_j \\ \dot{q}_j \end{vmatrix} + \Delta t \times \begin{vmatrix} \dot{q}_j \\ -\omega_0^2 q_j \end{vmatrix}$$

Donc on a:

$$\begin{pmatrix} q_{j+1} \\ \dot{q}_{j+1} \end{pmatrix} = \begin{pmatrix} q_j \\ \dot{q}_j \end{pmatrix} + \Delta t \times \begin{pmatrix} \dot{q}_j \\ -\omega_0^2 q_j \end{pmatrix}$$

Bien entendu, on obtient:

$$\begin{vmatrix} q_{j+1} \\ \dot{q}_{j+1} \end{vmatrix} = \begin{bmatrix} 1 & \Delta t \\ -\omega_0^2 \Delta t & 1 \end{bmatrix} \begin{vmatrix} q_j \\ \dot{q}_j \end{vmatrix}$$

2.2

```
%Euler explicite ;
```

```
n=300; dt = T0/n;
```

```
t = 0:dt:T0;
```

```
A1 = [1, dt; -w0*w0*dt, 1];
```

```
U1(:, 1) = [q0; Dq0]; for j = 2:length(t)
```

```
    U1(:, j) = A1*U1(:, j-1); end
```

```
clf;
```

```
plot(t, U1(1, :))
```

```
hold on ;
```

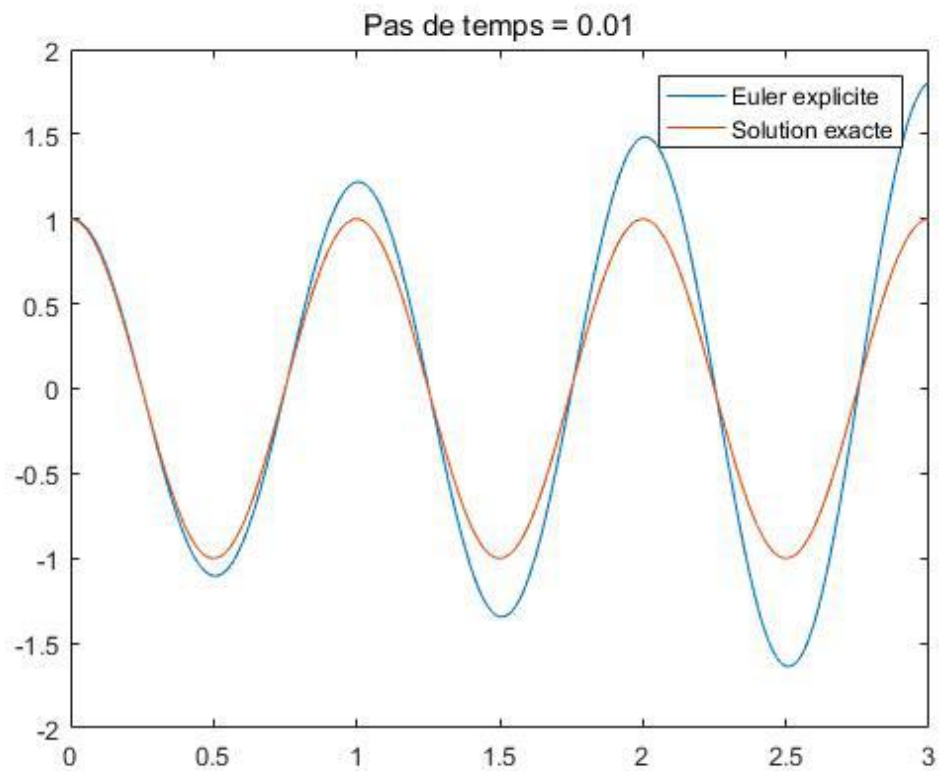
```
plot(t, cos(2*pi*t))
```

```
legend('Euler explicite', 'Solution exacte')
```

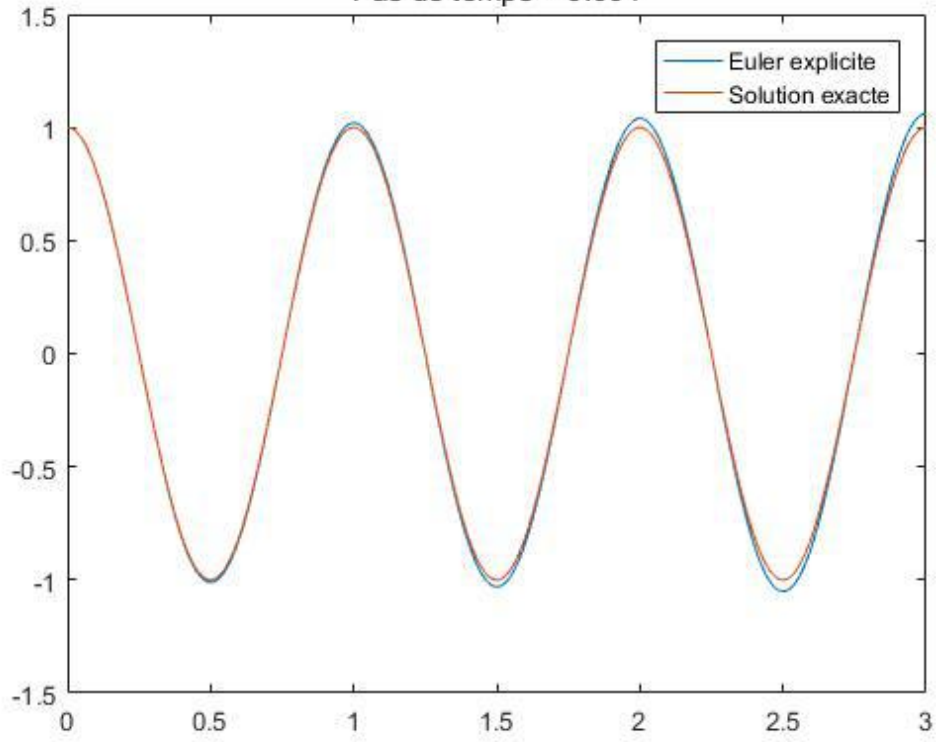
2.3

On teste avec différents pas de temps:

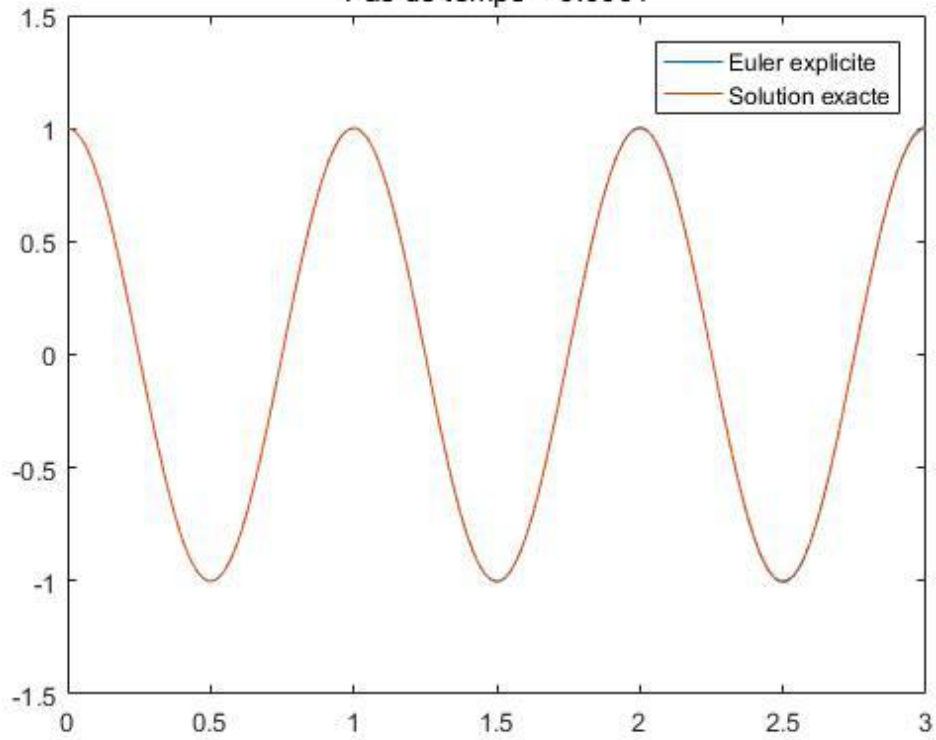
D'après les diagrammes suivantes, on trouve la solution numérique obtenue avec ce schéma d'intégration est divergente, et plus le pas de temps est petit, plus la divergence est lente.



Pas de temps = 0.001

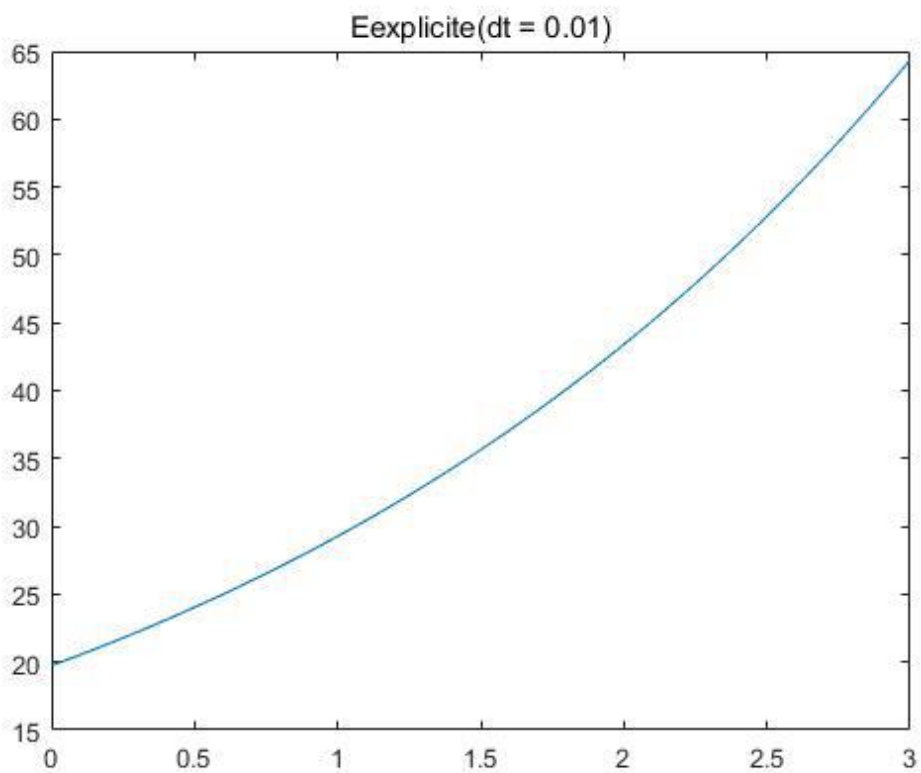


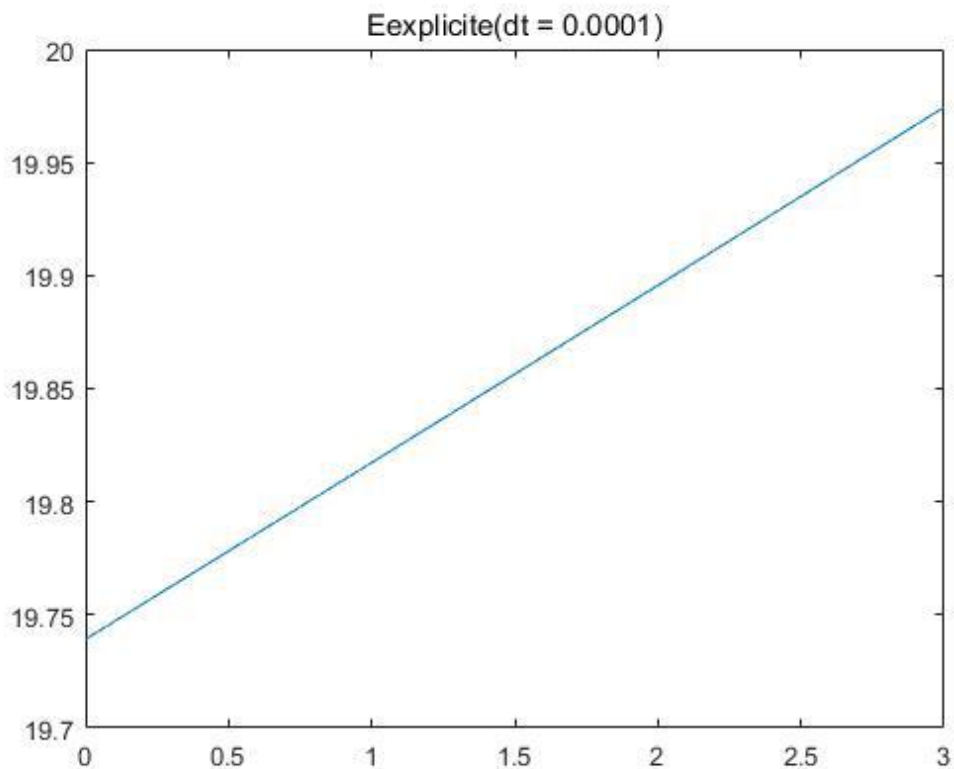
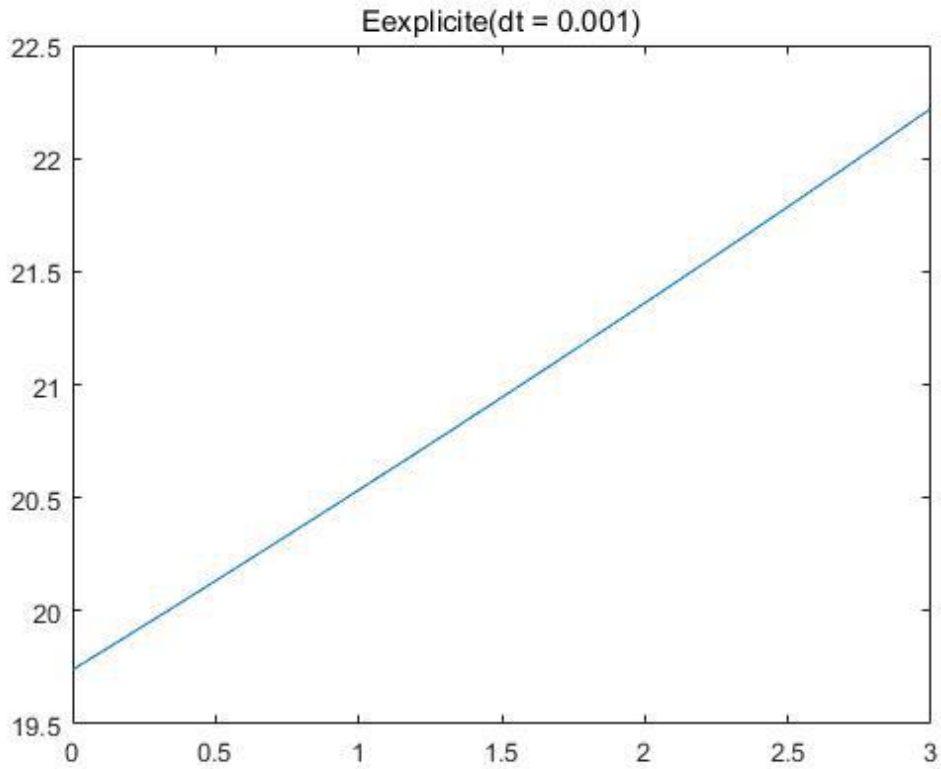
Pas de temps = 0.0001



2.4

```
for j = 1:length(t)
    Eexplicite(j)=0.5*(U1(2,j)*U1(2,j)+4*pi*pi*U1(1,j)*U1(1,j));end
clf;
plot(t,Eexplicite)
title('Eexplicite')
```





On peut voir que l'énergie de méthode Euler explicite augmente avec le temps , c'est-à-dire l'énergie diverge avec le temps . En comparant les 3 diagrammes, on trouve que plus petit le pas de temps , plus lentement l'énergie diverge .

2.5

$$A = \begin{pmatrix} 1 & \Delta t \\ -\omega_0^2 \Delta t & 1 \end{pmatrix}$$

$$\det(\lambda I - A) = \begin{vmatrix} \lambda - 1 & -\Delta t \\ \omega_0^2 \Delta t & \lambda - 1 \end{vmatrix} = \lambda^2 - 2\lambda + 1 + \omega^2 \Delta t^2$$

$$\lambda = \frac{2 \pm i\omega\Delta t}{2}$$

3.1

```
%Euler implicite

A2 = [1, -dt; w0*w0*dt, 1];

U2(:, 1) = [q0; Dq0];

for j = 1:length(t)-1

    U2(:, j+1) = inv(A2)*U2(:, j);

end
```

3.2

```
clf;

plot(t, U2(1, :))

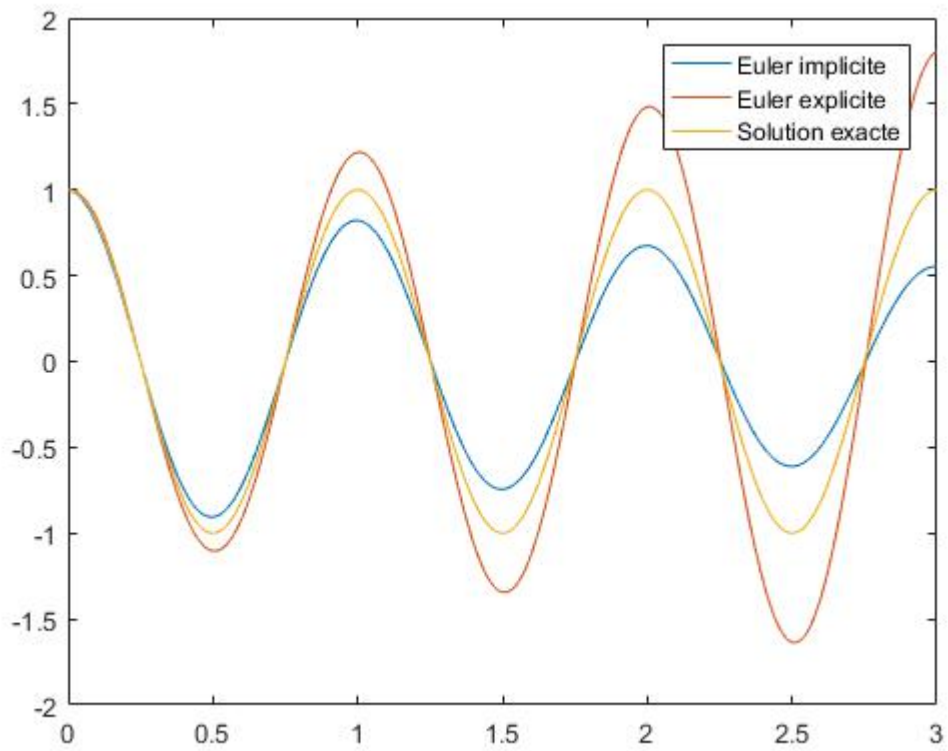
hold on;

plot(t, U1(1, :))

hold on;

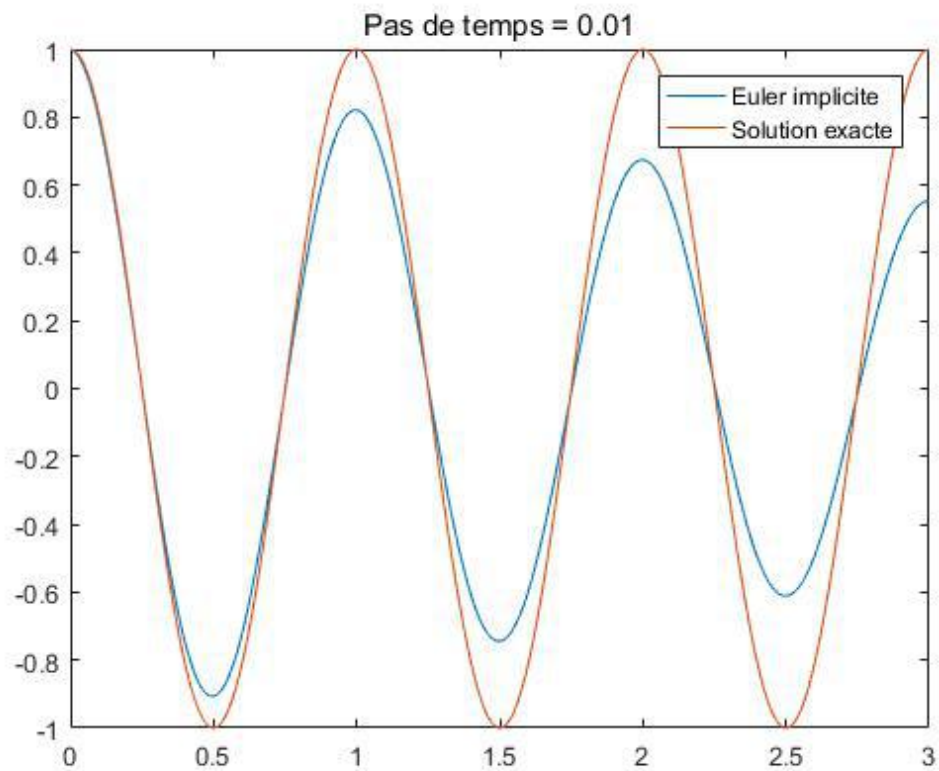
plot(t, cos(2*pi*t))

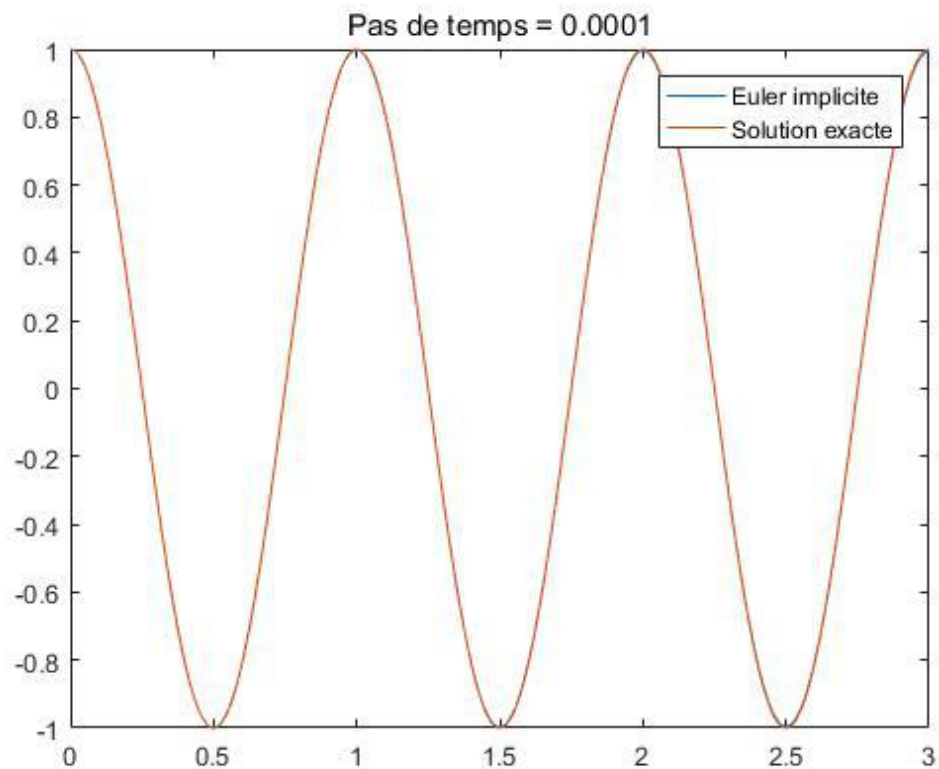
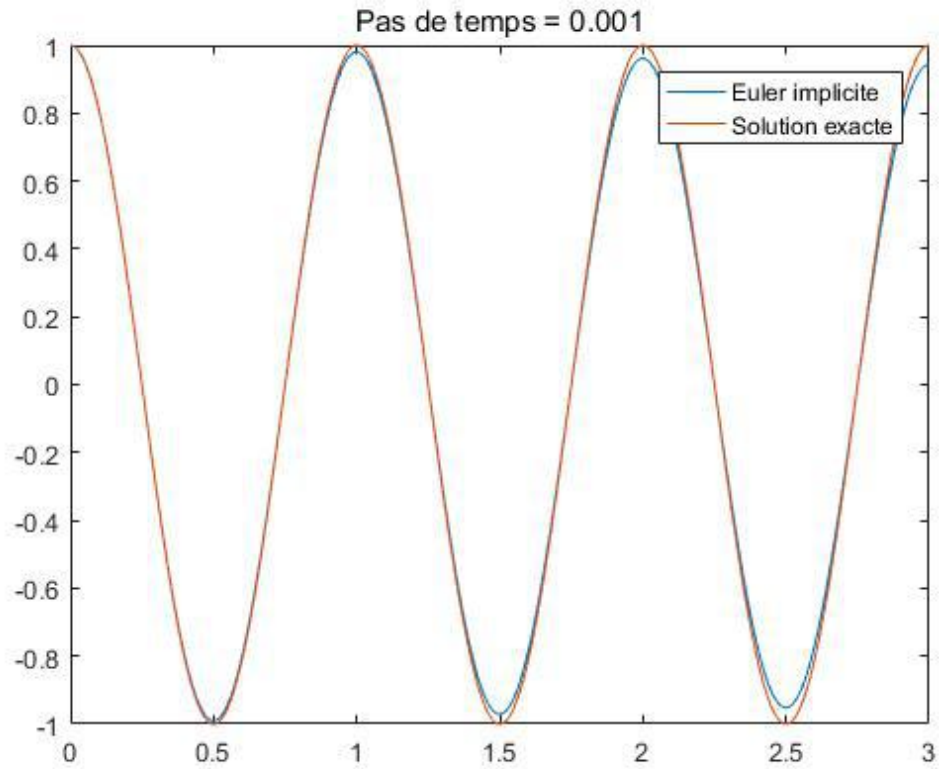
legend('Euler implicite', 'Euler explicite', 'Solution exacte')
```



3.3

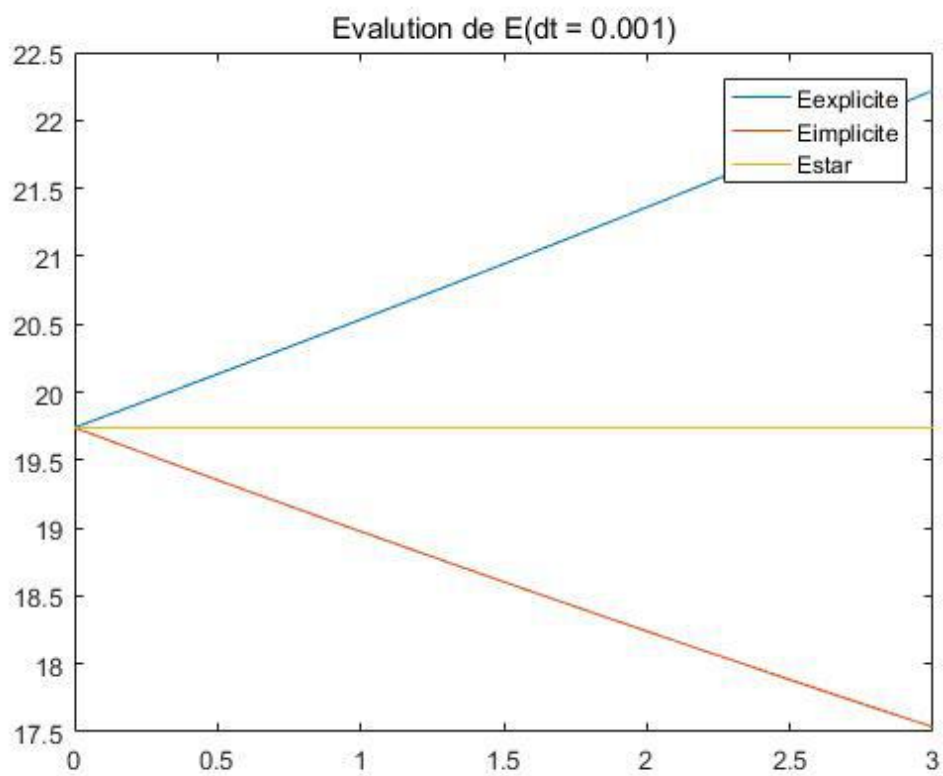
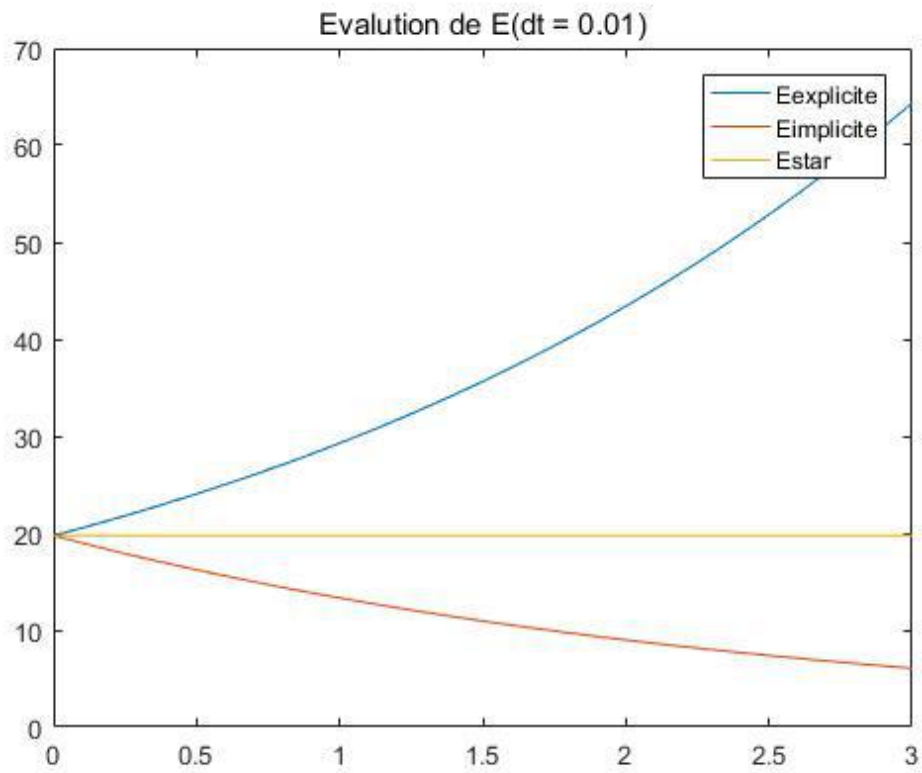
On observe les figures de pas de temps différents :

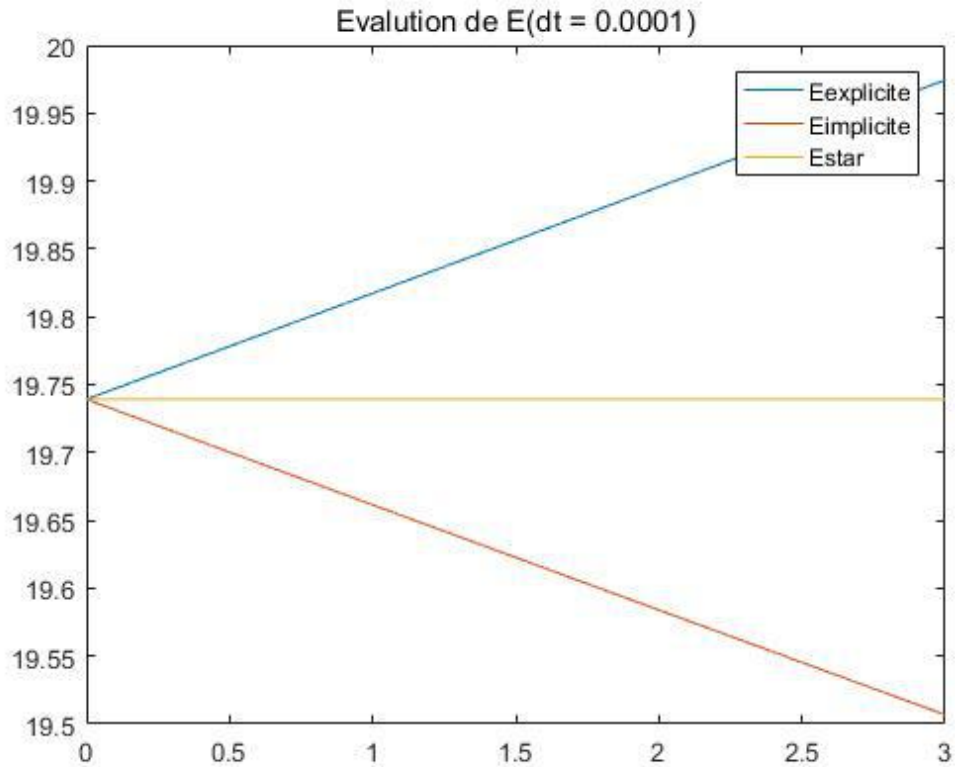




Evidemment , le schéma d'intégration d'EULER implicite introduit un amortissement numérique et plus le pas de temps est petit ,plus l'atténuation est faible .

3.4





On trouve que l'énergie de Euler implicite se diminue avec le temps , et plus le pas de temps est petit , plus l'atténuation est faible .

3.5

valeurPropres =

$$0.9961 + 0.0626i$$

$$0.9961 - 0.0626i$$

Les parties réelles de tout les deux valeurs propres sont inférieures à 1. C'est pourquoi l'énergie diminue .

4.1

$$\ddot{q} + \omega_0^2 q = 0$$

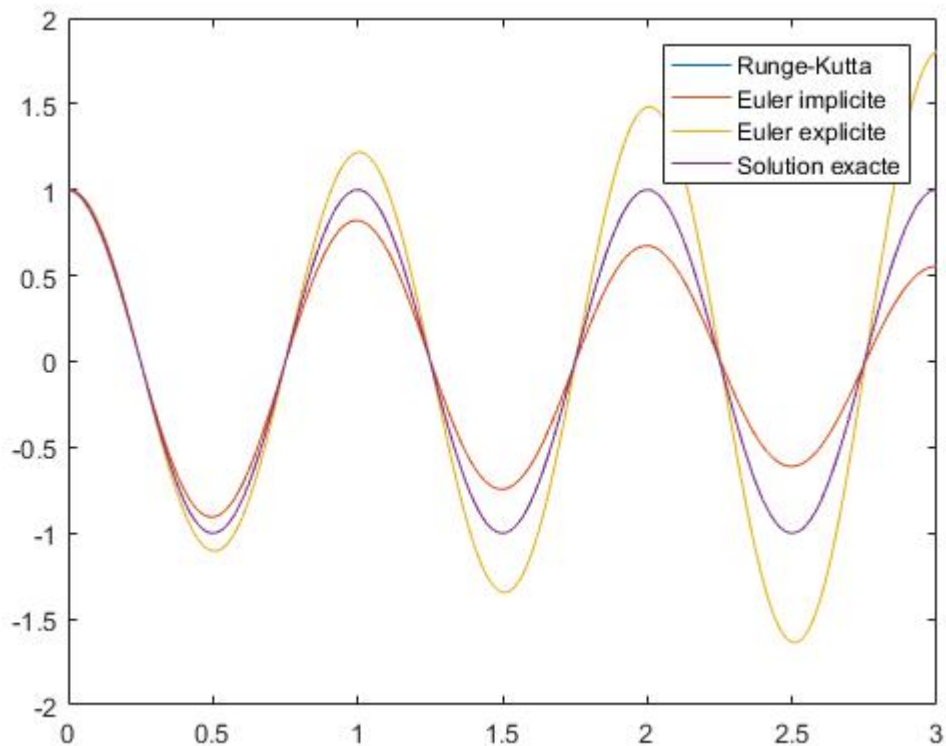
$$\begin{cases} \dot{q} = q \\ \ddot{q} = -\omega_0^2 q \end{cases}$$

$$\begin{pmatrix} q_{j+1} \\ \dot{q}_{j+1} \end{pmatrix} = \begin{pmatrix} 0 & 1 \\ -\omega_0^2 & 0 \end{pmatrix} \begin{pmatrix} q_j \\ \dot{q}_j \end{pmatrix} \Delta t + \begin{pmatrix} q_j \\ \dot{q}_j \end{pmatrix}$$

4.2

```
%Runge Kutta  
A3=[0, 1; -w0*w0, 0];  
U3(:, 1)=[q0; Dq0]; for i=1:length(t)-1  
    k1=A3*U3(:, i);  
    k2=A3*(U3(:, i)+0.5*dt*k1);  
    k3=A3*(U3(:, i)+0.5*dt*k2);  
    k4=A3*(U3(:, i)+dt*k3);  
    U3(:, i+1)=U3(:, i)+1/6*dt*(k1+2*k2+2*k3+k4); end
```

4.3



D'après le figure au dessus , on trouve que le schéma Runge Kutta est beaucoup plus précise que les 2 schémas précédents.

4.4

```
for j = 1:length(t)

    Eexplicite(j)=0.5*(U1(2,j)*U1(2,j)+4*pi*pi*U1(1,j)*U1(1,j));

    Eimplicite(j)=0.5*(U2(2,j)*U2(2,j)+4*pi*pi*U2(1,j)*U2(1,j));

    Erungekutta(j)=0.5*(U3(2,j)*U3(2,j)+4*pi*pi*U3(1,j)*U3(1,j));

    Estar(j)=Eetoile;end

clf;

plot(t,Eexplicite)

hold on;

plot(t,Eimplicite)

hold on;

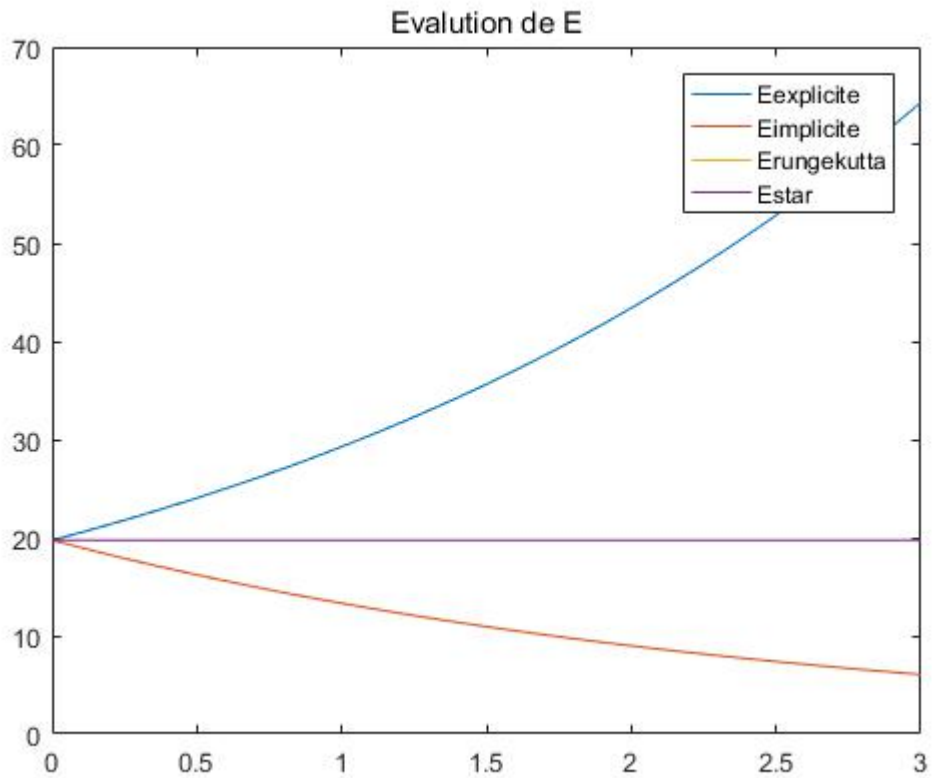
plot(t,Erungekutta)

hold on;

plot(t, Estar)

title(' Evaluation de E ')

legend('Eexplicite','Eimplicite','Erungekutta','Estar')
```



On trouve que l'énergie du schéma Runge luttant est plus précise que les schémas précédents.

5.1.1

```

gama = 0.5; beta = 0.25;

B = [1+beta*dt*dt*w0*w0, 0; gama*dt*w0*w0, 1];

C = [1-(0.5-beta)*dt*dt*w0*w0, dt; -(1-gama)*dt*w0*w0, 1];

A4 = inv(B)*C;

U4(:, 1) = [q0; Dq0]; for j = 2:length(t)

    U4(:, j) = A4*U4(:, j-1); end

```

5.1.2

```

clf;

plot(t, U4(1, :))

```

```

hold on;

plot(t,U3(1,:))

hold on;

plot(t,U2(1,:))

hold on;

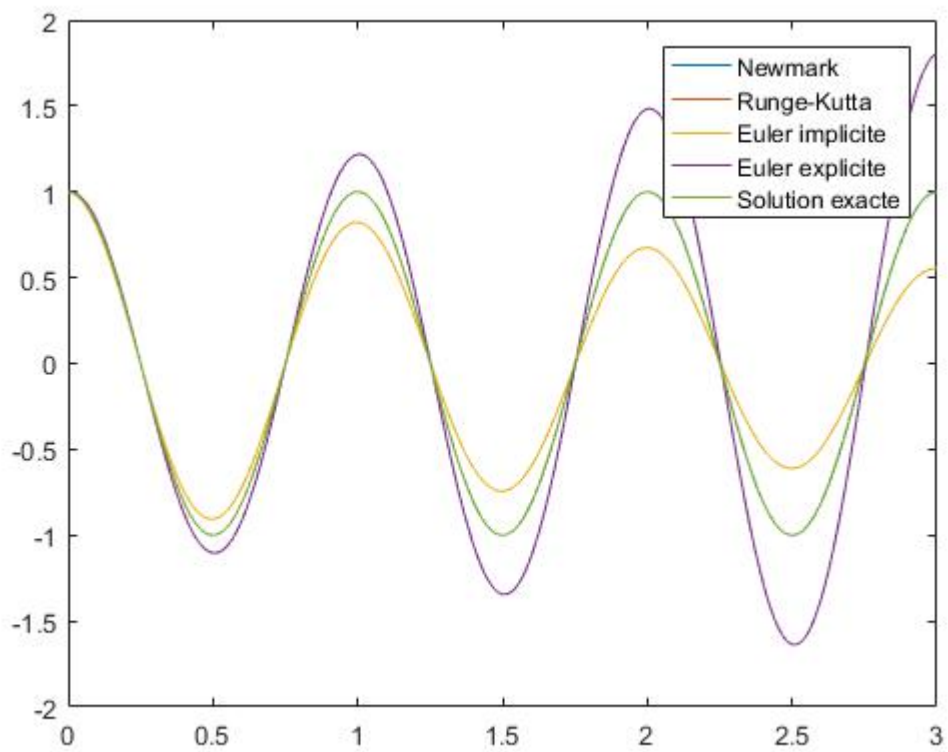
plot(t,U1(1,:))

hold on;

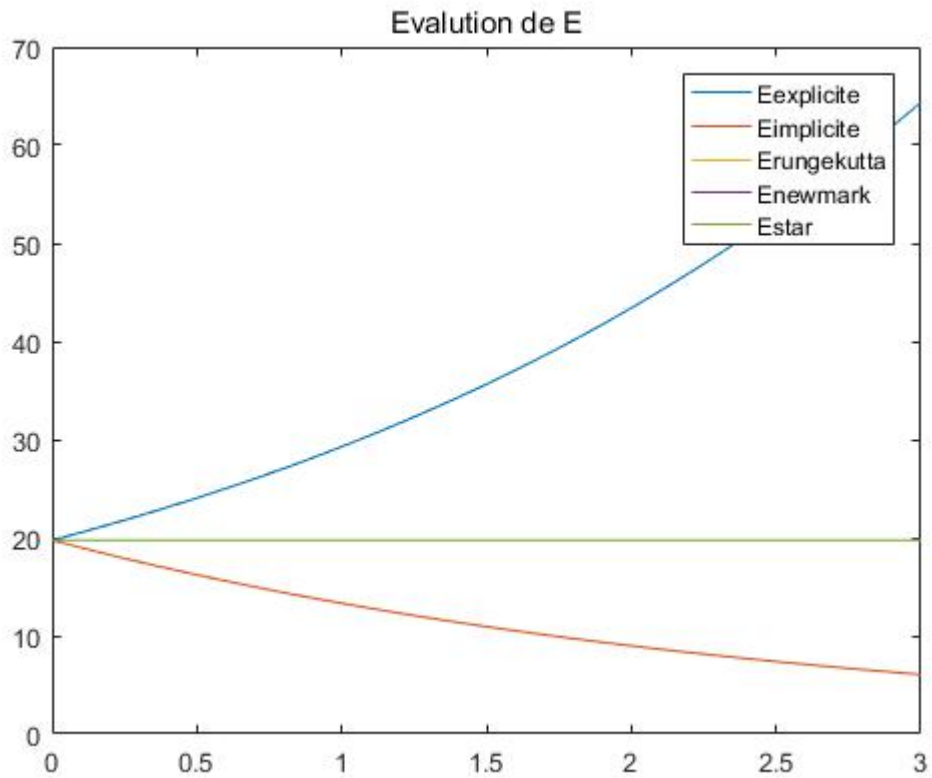
plot(t,cos(2*pi*t))

legend('Newmark','Runge-Kutta','Euler implicite','Euler explicite','Solution exacte')

```



5.1.3



5.1.4

VPnewmark =

$$0.9980 + 0.0628i$$

$$0.9980 - 0.0628i$$

5.2.1

```
gama = 0.5; beta = 0;
```

```
B = [1+beta*dt*dt*w0*w0, 0; gama*dt*w0*w0, 1];
```

```
C = [1-(0.5-beta)*dt*dt*w0*w0, dt; -(1-gama)*dt*w0*w0, 1];
```

```
A4 = inv(B)*C;
```

```
U5(:, 1) = [q0; Dq0]; for j = 2:length(t)
```

```
U5(:, j) = A4*U5(:, j-1); end
```

5.2.2

```
clf;
```



```

plot(t,U5(1,:))

hold on;

plot(t,U3(1,:))

hold on;

plot(t,U2(1,:))

hold on;

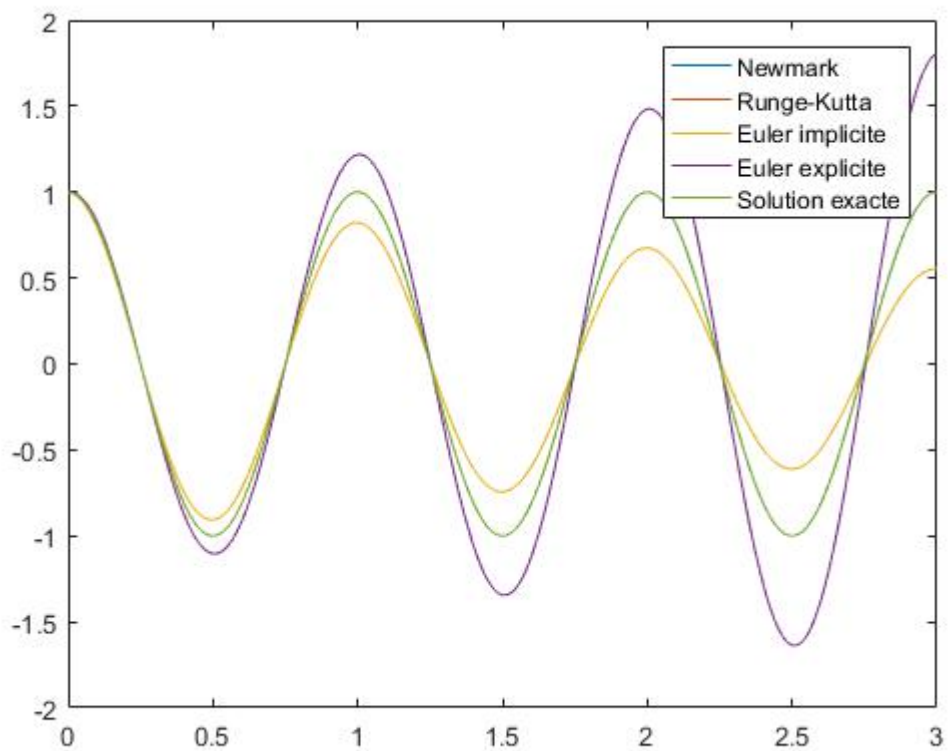
plot(t,U1(1,:))

hold on;

plot(t,cos(2*pi*t))

legend('Newmark','Runge-Kutta','Euler implicite','Euler explicite','Solution exacte')

```



5.2.3

```
clf;
```

```
plot(t,U4(1,:))
```

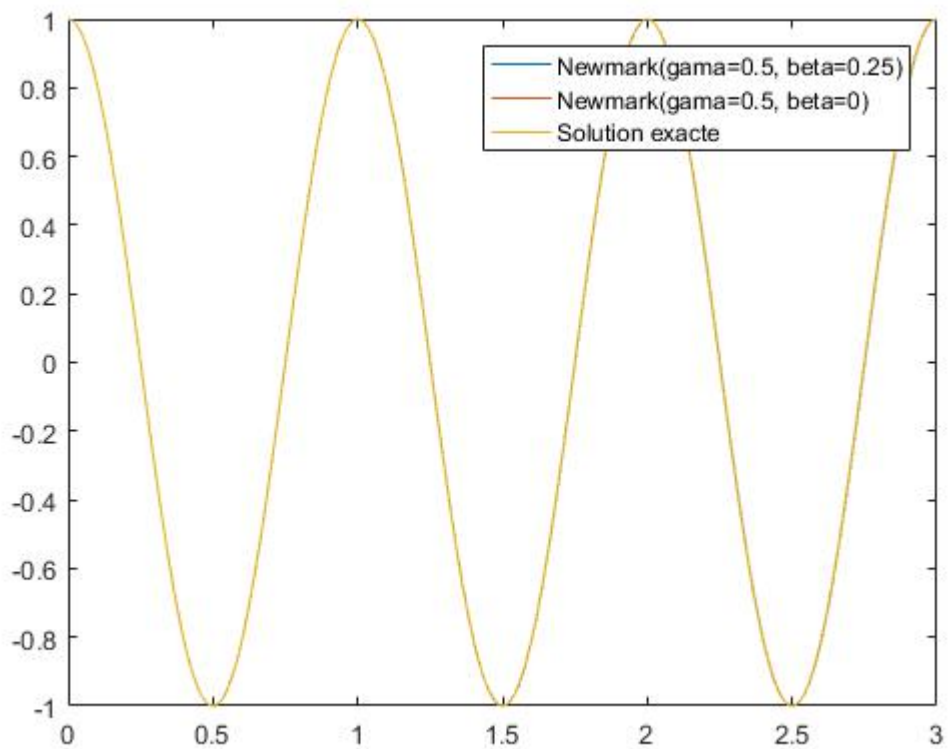
```
hold on;
```

```
plot(t,U5(1,:))
```

```
hold on;
```

```
plot(t,cos(2*pi*t))
```

```
legend('Newmark(gama=0.5, beta=0.25)', 'Newmark(gama=0.5, beta=0)', 'Solution exacte')
```



On trouve pas de différence dans cette figure , mais si on étudie plus précisément , on peut voir la figure au dessous :la solution de Newmark(beta = 0) est explicite et la solution de Newmark(beta = 0.25) est implicite.

